

УДК 532.5+536.2

Свободная конвекция на наклонной пластине при изменениях вязкости и теплопроводности

Г. Палани¹, Дж. Д. Кирубавати¹, Кван Ёнг Ким²

¹*Гос. колледж искусств им. др. Амбедкара, Ченнай, Индия*

²*Университет Инха, Инчон, Республика Корея*

E-mail: gpalani32@yahoo.co.in

В представленном численном анализе исследовано конвективное течение вязкой несжимаемой жидкости по наклонной полубесконечной пластине с учетом зависимости вязкости и теплопроводности от температуры. Определяющие уравнения с соответствующими краевыми условиями преобразованы к безразмерной форме с помощью соответствующих безразмерных величин. Вследствие сложности преобразованных уравнений математической модели получить аналитическое решение невозможно. Поэтому схема Кранка–Николсона, как наиболее эффективный и безусловно устойчивый неявный конечно-разностный метод, была использована для решения преобразованных уравнений. Численные результаты получены для различных значений вязкости, теплопроводности, угла наклона, критериев Грасгофа и Прандтля. Результаты подробного исследования изменения скорости, температуры, напряжения сдвига и числа Нуссельта представлены графически. Для проверки точности представленных численных результатов проведено сравнение с имеющимися в литературе данными и установлено хорошее согласование.

Ключевые слова: наклонная пластина, переменная вязкость, конечные разности, число Нуссельта.

Введение

Естественная конвекция жидкости, возникающая вследствие градиентов температуры, очень важна в ряде промышленных применений. Кроме того, плавучесть очень существенна в окружающей среде, поскольку разница температур между землей и воздухом может привести к сложной структуре потока, и в замкнутых пространствах, например, в вентилируемых и отапливаемых помещениях, реакторах.

Благодаря широкой распространенности в естественно происходящих процессах задача о двумерной свободной конвекции вдоль полубесконечной плоской пластины с различными граничными условиями в последние несколько лет привлекает внимание многих исследователей.

Впервые решение задачи о свободноконвективном обтекании полубесконечной пластины с использованием интегрального метода импульсов было опубликовано в работе [1]. В работе [2] было представлено свободноконвективное обтекание полубесконечной изотермической вертикальной пластины с применением автомоделных переменных. Нестационарная свободная конвекция вдоль полубесконечной вертикальной пластины для условий постоянной температуры и теплового потока с использованием интегрального

метода впервые была изучена в работе [3]. В работе [4] впервые была представлена задача о конвекции вдоль полубесконечной вертикальной изотермической пластины с использованием сходящегося условно устойчивого явного конечно-разностного метода. С помощью быстро сходящейся, безусловно устойчивой и более точной неявной разностной схемы типа Кранка–Николсона эта задача исследовалась в работе [5]. Авторами [6] были получены автомоделные решения задачи о ламинарной свободной конвекции воздуха и воды в пограничном слое на горизонтальной, наклонной и вертикальной плоских пластинах со степенной зависимостью температуры или поверхностной плотности теплового потока от осевой координаты. В работе [7] представлены конечно-разностные решения для нестационарной естественной конвекции в пограничном слое на наклонной пластине с переменной температурой поверхности.

Во всех вышеперечисленных работах рассматриваются жидкости с постоянными свойствами. Однако жидкости, которые являются важными в теории смазки, где генерируемое внутренним трением тепло и соответствующее повышение температуры влияют на их вязкость и теплопроводность, не могут рассматриваться таким образом. Физические свойства жидкостей, такие как вязкость и теплопроводность, могут значительно изменяться с температурой [8].

Задача с температурно-зависимыми свойствами осложняется еще и тем, что свойства различных жидкостей по-разному зависят от температуры. Авторы работы [9] получили различные соотношения между физическими свойствами жидкостей и температурой. В работе [10] рассматривались алгебраические и экспоненциальные температурные зависимости вязкости для анализа задачи течения ньютоновской жидкости в канале с резким подогревом или охлаждением. Позже исследовалось влияние значительных изменений вязкости на конвективный перенос тепла в водонасыщенных пористых средах [11]. Течение вязкой несжимаемой жидкости вдоль вертикальной пластины с изменением вязкости и теплопроводности было изучено в работе [12].

Автор работы [13] изучал магнитное гидродинамическое (МГД) обтекание нагреваемой вертикальной пластины при изменении вязкости и теплопроводности с температурой. Свободная конвекция вдоль вертикальной пористой пластины с однородным отсосом, нагреваемой тепловым излучением, была численно исследована в работе [14] с учетом переменной вязкости.

Автором работы [15] изучалась свободная нестационарная МГД конвекция вдоль пластины с учетом влияния переменной вязкости и теплового излучения. В работе [16] исследовался стационарный локально-однонаправленный гравитационный дренаж тонкого ривулета ньютоновской жидкости с температурнозависимой вязкостью, текущего по слабонаклонной поверхности, температура которой равномерно выше или ниже температуры окружающей атмосферы. Стационарный ламинарный пограничный слой при свободной конвекции, создаваемой влиянием излучения, описан в работе [17] с учетом зависимости вязкости, теплопроводности и плотности от температуры. Течение вязкой несжимаемой жидкости вдоль непрерывно движущейся полубесконечной пластины с переменными вязкостью и температурой представлено в работе [18].

Авторы работы [19] проанализировали влияние теплового излучения и теплопроводности на растягивающуюся поверхность с неравномерным потоком тепла. Работа [20] посвящена исследованию влияния переменной вязкости на поток теплового излучения в течении вязкой несжимаемой электропроводной жидкости вдоль движущейся вертикальной пластины с равномерным отсосом и тепловым потоком. Недавно были представлены результаты численного решения задачи о свободной конвекции при обтекании вертикальной пластины с учетом влияния переменных вязкости и теплопроводности с использованием неявной конечно-разностной схемы [21].

Из литературного обзора следует, что влияние изменения вязкости и теплопроводности с изменением температуры играет важную роль в механике жидкости. Влияние изменения вязкости и теплопроводности на свободную конвекцию при обтекании полубесконечной изотермической наклонной пластины рассматривается в настоящем исследовании. Предполагается, что температура пластины выше температуры окружающей жидкости. При этом теплопроводность жидкости считается линейной функцией переменной температуры, а вязкость является экспоненциальной функцией температуры.

В процессе решения задачи о течении жидкости разработаны и применяются различные математические методы, в том числе и метод конечных разностей. Приведенные к безразмерной форме определяющие уравнения решаются численно с помощью неявной конечно-разностной схемы типа Кранка–Николсона.

Изучается влияние изменений вязкости и теплопроводности на скорость, температуру, напряжение сдвига и интенсивность теплообмена в нестационарном течении.

1. Математическая постановка задачи

Рассмотрим математическую постановку задачи ламинарного нестационарного переходного двумерного обтекания полубесконечной изотермической наклонной пластины, основанную на следующих предположениях:

- угол наклона пластины относительно горизонтальной поверхности равен ϕ ;
- ось x направлена вдоль пластины, ось y — по нормали к ее поверхности;
- первоначально пластина и жидкость имеют одинаковую температуру T'_∞ ; в момент времени $t' > 0$ температура пластины мгновенно изменяется до температуры T'_w ;
- влияние вязкой диссипации в уравнении энергии предполагается незначительным;
- все физические свойства жидкости остаются постоянными, за исключением вязкости, которая меняется экспоненциально с температурой жидкости, теплопроводности, которая изменяется линейно с температурой жидкости, и плотности, влияние которой в объемной силе уравнения импульса учитываются в приближении Буссинеска.

При этих предположениях уравнения сохранения для нестационарного двумерного ламинарного пограничного слоя рассматриваемой задачи могут быть записаны в следующем виде:

$$\frac{\partial u}{\partial x} + \frac{\partial v}{\partial y} = 0, \quad (1)$$

$$\frac{\partial u}{\partial t'} + u \frac{\partial u}{\partial x} + v \frac{\partial u}{\partial y} = g \beta \cos \phi \frac{\partial}{\partial x} \int_y^\infty (T' - T'_\infty) \partial y + g \beta \sin \phi (T' - T'_\infty) + \frac{1}{\rho} \frac{\partial}{\partial y} \left(\rho \frac{\partial u}{\partial y} \right), \quad (2)$$

$$\frac{\partial T'}{\partial t'} + u \frac{\partial T'}{\partial x} + v \frac{\partial T'}{\partial y} = \frac{1}{\rho C_p} \frac{\partial}{\partial y} \left(k \frac{\partial T'}{\partial y} \right), \quad (3)$$

где u и v — компоненты скорости в направлениях x и y соответственно, ρ — плотность жидкости, T' — температура жидкости в пограничном слое, t' — время, T'_∞ — температура жидкости вдали от пластины, β — это объемный коэффициент теплового расширения, C_p — удельная теплоемкость, ϕ — это угол наклона к горизонтали, μ — коэффициент переменной динамической вязкости, g — ускорение свободного падения, k — переменная теплопроводность жидкости.

Начальные и граничные условия имеют следующий вид:

$$\begin{aligned}
 t' \leq 0: \quad u = 0, \quad v = 0, \quad T' = T'_\infty \quad \text{для всех } y, \\
 t' > 0: \quad u = 0, \quad v = 0, \quad T' = T'_\infty \quad \text{при } y = 0, \\
 u = 0, \quad T' = T'_\infty \quad \text{при } x = 0, \\
 u \rightarrow 0, \quad T' = T'_\infty \quad \text{при } y \rightarrow \infty.
 \end{aligned} \tag{4}$$

Введем следующие безразмерные переменные:

$$\begin{aligned}
 X = \frac{x}{L}, \quad Y = \frac{y}{L} \text{Gr}^{1/4}, \quad U = \frac{uL}{\nu} \text{Gr}^{-1/2}, \quad V = \frac{vL}{\nu} \text{Gr}^{-1/4}, \quad t = \frac{\nu t'}{L^2} \text{Gr}^{1/2}, \\
 T = \frac{T' - T'_\infty}{T'_w - T'_\infty}, \quad \text{Gr} = \frac{g\beta L^3 (T'_w - T'_\infty)}{\nu^2}, \\
 \text{Pr} = \frac{\mu_0 C_p}{\kappa_0}, \quad \nu = \frac{\mu_0}{\rho},
 \end{aligned} \tag{5}$$

где L — длина пластины, ν — кинематическая вязкость, Gr — число Грасгофа, Pr — число Прандтля, μ_0 и κ_0 — соответственно вязкость и теплопроводность при температуре T'_w , также имеются зависимости вязкости и теплопроводности от безразмерной температуры T , как предложено авторами работ [10, 12, 16, 19, 22]:

$$\mu/\mu_0 = e^{-\lambda T}, \tag{6}$$

$$k/k_0 = 1 + \gamma T, \tag{7}$$

где λ и γ — соответственно параметры зависимостей изменения вязкости и теплопроводности, зависящие от характера жидкости. Уравнения (1)–(3) в безразмерной форме приводятся к следующему виду:

$$\frac{\partial U}{\partial X} + \frac{\partial V}{\partial Y} = 0, \tag{8}$$

$$\begin{aligned}
 \frac{\partial U}{\partial t} + U \frac{\partial U}{\partial X} + V \frac{\partial U}{\partial Y} = \text{Gr}^{-1/4} \cos \phi \frac{\partial}{\partial X} Y \int_Y^\infty T dY + T \sin \phi + \\
 + e^{\lambda T} \frac{\partial^2 U}{\partial Y^2} - \lambda e^{-\lambda T} \left(\frac{\partial T}{\partial Y} \right) \left(\frac{\partial U}{\partial Y} \right),
 \end{aligned} \tag{9}$$

$$\frac{\partial T}{\partial t} + U \frac{\partial T}{\partial X} + V \frac{\partial T}{\partial Y} = \frac{1 + \gamma T}{\text{Pr}} \frac{\partial^2 T}{\partial Y^2} + \frac{\gamma}{\text{Pr}} \left(\frac{\partial T}{\partial Y} \right)^2. \tag{10}$$

Соответствующие начальные и граничные условия в безразмерной форме записываются следующим образом:

$$\begin{aligned}
 t \leq 0: \quad U = 0, \quad V = 0, \quad T = 0 \quad \text{для всех } y, \\
 t > 0: \quad U = 0, \quad V = 0, \quad T = 1 \quad \text{при } Y = 0, \\
 U = 0, \quad T = 0 \quad \text{при } X = 0, \\
 U \rightarrow 0, \quad T \rightarrow 0 \quad \text{при } Y \rightarrow \infty.
 \end{aligned} \tag{11}$$

Уравнения(8)–(10) совместно с начальными и граничными условиями (11) описывают свободноконвективный нестационарный ламинарный пограничный слой на полубесконечной наклонной изотермической пластине с переменной вязкостью и теплопроводностью.

2. Численный метод

Двумерные нелинейные нестационарные связанные интегрально-дифференциальные уравнения (8)–(10) при начальных и граничных условиях (11) аппроксимируются конечными разностями и решаются с использованием безусловно устойчивой быстроходящей неявной разностной схемы Кранка–Николсона. Конечно-разностные уравнения, соответствующие уравнениям (8)–(10), определяются следующими формулами:

$$\begin{aligned} & \frac{\left[U_{i,j}^{k+1} - U_{i-1,j}^{k+1} + U_{i,j}^k - U_{i-1,j}^k + U_{i,j-1}^{k+1} - U_{i-1,j-1}^{k+1} + U_{i,j-1}^k - U_{i-1,j-1}^k \right]}{4\Delta X} + \\ & + \frac{\left[V_{i,j}^{k+1} - V_{i,j-1}^{k+1} + V_{i,j}^k - V_{i,j-1}^k \right]}{2\Delta Y} = 0, \end{aligned} \quad (12)$$

$$\begin{aligned} & \frac{\left[U_{i,j}^{k+1} - U_{i,j}^k \right]}{\Delta t} + U_{i,j}^k \frac{\left[U_{i,j}^{k+1} - U_{i-1,j}^{k+1} + U_{i,j}^k - U_{i-1,j}^k \right]}{2\Delta X} + V_{i,j}^k \frac{\left[U_{i,j+1}^{k+1} - U_{i,j-1}^{k+1} + U_{i,j+1}^k - U_{i,j-1}^k \right]}{4\Delta Y} = \\ & = \text{Gr}^{-1/4} \cos \phi \frac{\partial}{\partial X} \int_Y^\infty T dY + \frac{1}{2} \left[T_{i,j}^{k+1} + T_{i,j}^k \right] \sin \phi + \\ & + e^{-\lambda \left[(T_{i,j}^{k+1} + T_{i,j}^k) / 2 \right]} \frac{\left[U_{i,j-1}^{k+1} - 2U_{i,j}^{k+1} + U_{i,j+1}^{k+1} + U_{i,j-1}^k - 2U_{i,j}^k + U_{i,j+1}^k \right]}{2(\Delta Y)^2} - \\ & - \lambda e^{-\lambda \left[(T_{i,j}^{k+1} + T_{i,j}^k) / 2 \right]} \frac{\left[T_{i,j+1}^{k+1} - T_{i,j-1}^{k+1} + T_{i,j+1}^k - T_{i,j-1}^k \right] \left[U_{i,j+1}^{k+1} - U_{i,j-1}^{k+1} + U_{i,j+1}^k - U_{i,j-1}^k \right]}{4\Delta Y \cdot 4\Delta Y}, \end{aligned} \quad (13)$$

$$\begin{aligned} & \frac{\left[T_{i,j}^{k+1} - T_{i,j}^k \right]}{\Delta t} + U_{i,j}^k \frac{\left[T_{i,j}^{k+1} - T_{i-1,j}^{k+1} + T_{i,j}^k - T_{i-1,j}^k \right]}{2\Delta X} + V_{i,j}^k \frac{\left[T_{i,j+1}^{k+1} - T_{i,j-1}^{k+1} + T_{i,j+1}^k - T_{i,j-1}^k \right]}{4\Delta Y} = \\ & = \frac{1 + \gamma T_{i,j}^k}{\text{Pr}} \frac{\left[T_{i,j-1}^{k+1} - 2T_{i,j}^{k+1} + T_{i,j+1}^{k+1} + T_{i,j-1}^k - 2T_{i,j}^k + T_{i,j+1}^k \right]}{2(\Delta Y)^2} + \\ & + \frac{\gamma}{\text{Pr}} \left[\frac{\left[T_{i,j+1}^{k+1} - T_{i,j-1}^{k+1} + T_{i,j+1}^k - T_{i,j-1}^k \right]}{4\Delta Y} \right]^2. \end{aligned} \quad (14)$$

Область интегрирования — прямоугольник со сторонами $X_{\max} = 1$ и $Y_{\max} = 16$, где Y_{\max} соответствует координате $Y = \infty$, которая находится далеко за границами пограничных слоев импульса и энергии. Максимум Y был выбран равным 16 после ряда предварительных расчетов, в которых проверялось выполнение последних двух граничных условий (11). Индекс i обозначает узел сетки вдоль оси X , j — вдоль оси Y , и надстрочный индекс k

нумерует временной слой. В течение каждого шага по времени коэффициенты $U_{i,j}^k$ и $V_{i,j}^k$, входящие в разностные уравнения, рассматриваются как константы. Значения U , V и T при $t = 0$ известны для всех узлов сетки из начальных условий. Вычисления U , V и T на $(k + 1)$ шаге по времени с использованием значений с предыдущего k шага осуществляются следующим образом. Конечно-разностное уравнение (14) во всех внутренних узловых точках любого i -уровня является трехдиагональной системой уравнений. Такая система уравнений решается с помощью алгоритм Томаса [23]. Значения T известны в каждой узловой точке для любого i на $(k + 1)$ временном шаге. Используя эти значения в уравнении (13), находим U на каждом $(k + 1)$ шаге подобным образом. Теперь значения T и U известны на любом i -слое. Наконец, значения V вычисляются явно с помощью уравнения (12) в каждой узловой точке для любого i -слоя на $(k + 1)$ временном шаге. Этот процесс повторяется для всех i -слоев. Таким образом, найдены значения T , U и V для всех точек сетки в прямоугольной области на $(k + 1)$ временном шаге.

После ряда тестов с несколькими сетками с различными шагами были выбраны шаги по координатам $\Delta X = 0,05$, $\Delta Y = 0,25$ и шаг по времени $\Delta t = 0,01$. При тестировании размер пространственных шагов сетки уменьшался сначала на 50 % в одном направлении, затем в обоих направлениях, и результаты сравнивались. Сравнение показало, что при уменьшении размера ячейки на 50 % в X - и Y -направлениях результаты отличаются в четвертом знаке после запятой. Поэтому указанные шаги сетки можно считать приемлемыми для расчетов. Расчеты проводились до достижения стационарного состояния. Предполагалось, что стационарное решение получено, если абсолютная разница между значениями U , а также значениями T на двух последовательных шагах составляла менее 10^{-5} в узлах сетки. Локальная ошибка усечения равна $O(\Delta t^2 + \Delta Y^2 + \Delta X)$ и стремится к нулю при Δt , ΔX и ΔY стремящихся к нулю, что показывает согласованность схемы. Для неявных конечно-разностных схем типа Кранка–Николсона доказана безусловная устойчивость в свободноконвективных потоках, в которых U всегда неотрицательна и V не положительна (см. [7]). Таким образом, согласованность и устойчивость неявной конечно-разностной схемы гарантирует сходимость.

3. Обсуждение результатов

В настоящем исследовании для λ , γ и Pr приняты следующие диапазоны значений (см. [8], [12]):

- для воздуха: $-0,7 \leq \lambda \leq 0 \leq \gamma \leq 6$, $Pr = 0,733$;
- для воды: $0 \leq \lambda \leq 0,6$, $0 \leq \gamma \leq 0,12$, $2 \leq Pr \leq 6$;
- для смазочного масла: $0 \leq \lambda \leq 3$, $-0,1 \leq \gamma \leq 0$, $5 \leq Pr \leq 2500$.

Из уравнения (6) следует, что при $\lambda < 0$ вязкость среды возрастает с увеличением температуры, в данном случае — воздуха. При $\lambda > 0$ вязкость жидкости уменьшается с увеличением температуры, в данном случае — воды и масла. Из уравнения (7) следует, что при $\gamma > 0$ теплопроводность увеличивается с повышением температуры, в данном случае — воды и воздуха. При $\gamma < 0$ теплопроводность уменьшается с повышением температуры, в данном случае — смазочного масла.

Для проверки точности настоящих результатов проведено их сравнение с результатами работы [12] (для вертикальной пластины с переменной вязкостью и температуропроводностью), полученными в стационарном случае для скорости U и температуры T при $\phi = 90^\circ$, $\lambda = -0,4$ с различными значениями γ для воздуха ($Pr = 0,733$). Результаты настоящей работы, представленные на рис. 1, хорошо согласуются с результатами работы [12]. Также вычисленные значения скорости U хорошо согласуются с теоретическими результатами работы [6] для значений $\phi = 57,65^\circ$, $Gr = 10^6$, $Pr = 0,7$, $\lambda = 0$, $\gamma = 0$, соответствующих случаю $\zeta = 16$ работы [6] (рис. 2).

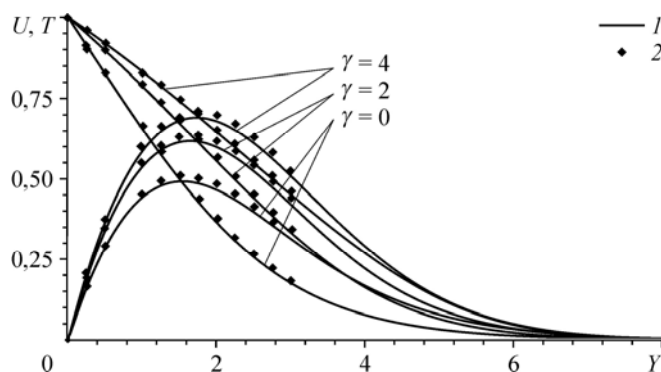


Рис. 1. Сравнение профилей скорости и температуры при $X = 1$ для $\lambda = -0,4$ и $Pr = 0,733$. $\phi = 90^\circ$; 1 — результаты настоящей работы, 2 — результаты работы [12].

В задаче нестационарной свободной конвекции было установлено, что время является важным фактором при изучении этого явления переноса. Изменения профилей скорости и температуры со временем, представленные на графиках, показывают, что после определенного промежутка времени значения скорости и температуры достигают стационарного значения. Также наблюдались временные максимумы профилей скорости и температуры. Явления этого типа наблюдалось некоторыми исследователями задачи нестационарной свободной конвекции на вертикальной или наклонной пластине.

Рассмотрим влияние наклона пластины на время достижения стационарного состояния. При $Gr = 10^5$, когда угол наклона пластины составляет $\phi = 60^\circ$ с горизонталью, скорость с течением времени увеличивается и достигает временного максимума 0,613 при $Y = 1,75$ для $t = 2,58$, и впоследствии достигает стационарного значения при $t = 4,95$, в то время как в случае $Gr = 10^7$ скорость приобретает максимальное значение 0,58529 при $Y = 1,5$, для $t = 2,61$ и впоследствии достигает стационарного значения. Для стационарного режима установлено, что скорость уменьшается при увеличении числа Грасгофа. Из результатов расчетов следует, что разница между временным максимумом и стационарным значением убывает с ростом числа Грасгофа.

На рис. 3 и 4 изменения скорости и температуры показаны для $Pr = 0,733$ (воздух) при $\gamma = 1$, $\lambda = -0,1$, $Gr = 10^5, 10^7$, $\phi = 30^\circ, 60^\circ$. Когда угол наклона ϕ увеличивается, нормальная составляющая силы плавучести уменьшается вблизи передней кромки, что создает подъемную силу на течение жидкости вдоль пластины, то есть подъемная сила вдоль пластины уменьшается с увеличением ϕ . Время, необходимое для достижения

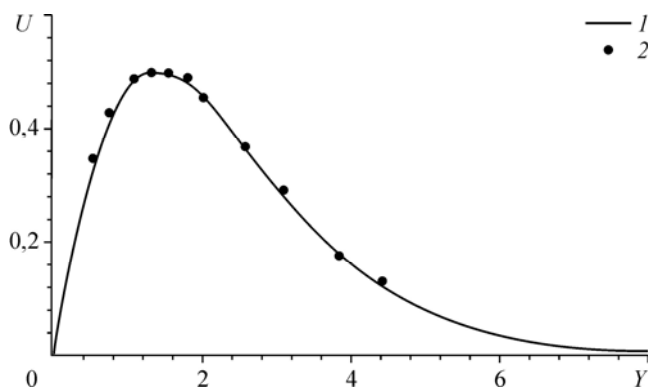


Рис. 2. Сравнение стационарных профилей скорости при $X = 1$. $\phi = 57,65^\circ$, $Gr = 10^6$, $Pr = 0,7$, $\lambda = 0$, $\gamma = 0$; 1 — результаты настоящей работы, 2 — результаты работы [6].

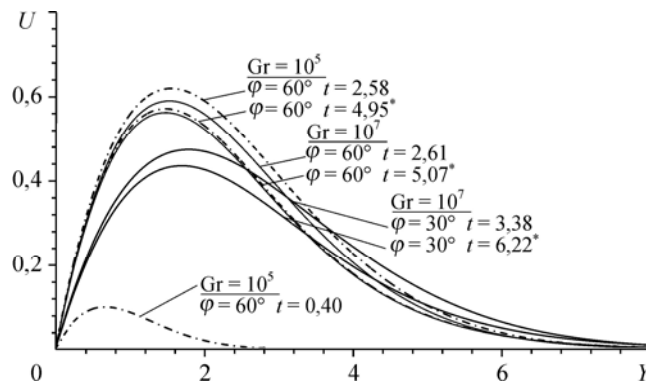


Рис. 3. Изменение профилей скорости при различных Gr и ϕ .

* — стационарное решение; $\lambda = -0,1$, $\gamma = 1$, $Pr = 0,733$.

установившегося режима, уменьшается с увеличением угла наклона ϕ . Так как тангенциальная сила плавучести доминирует вниз по течению и также увеличивается с ϕ , то и скорость возрастает с увеличением угла наклона, но в случае распределения температуры это происходит по-другому. Численные результаты показывают, что нет никаких заметных изменений в распределении температуры при изменении Gr.

Рисунки 5–8 демонстрируют изменения скорости и температуры при различных значениях вязкости и теплопроводности воздуха ($Pr = 0,733$) в переходном процессе, при временном максимуме и для установившегося режима при $X = 1$. Скорость жидкости возрастает и достигает своего максимального значения очень близко к поверхности при $0 \leq Y \leq 2$, а затем монотонно убывает к нулю при увеличении Y при всех значениях t . Следует заметить, что скорость и температура увеличиваются с течением времени t , достигают временного максимума, после этого наблюдается умеренная тенденция к снижению и затем достигается стационарное состояние.

На рис. 5 и 6 показаны изменения переходных профилей скорости и температуры для различных значений λ при $\gamma = 2$ в воздухе ($Pr = 0,733$). Скорость жидкости возрастает со временем до тех пор, пока не достигается временной максимум, и затем наблюдается умеренное снижение вплоть до достижения окончательного стационарного состояния. Время, необходимое для достижения стационарного состояния, немного уменьшается с увеличением параметра изменения вязкости. Из рис. 5 следует, что скорость U возле

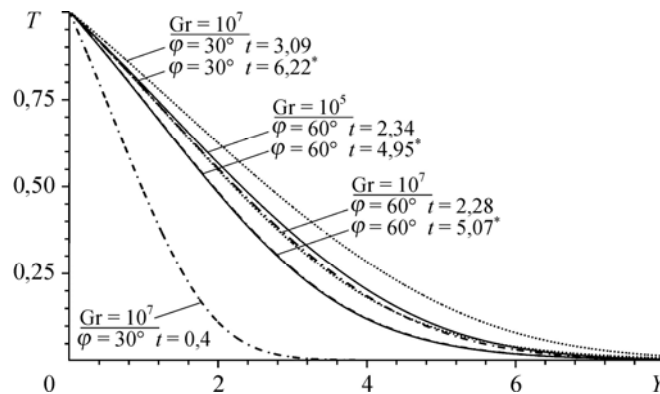


Рис. 4. Изменение профилей температуры при различных Gr и ϕ при $X = 1$.

* — стационарное решение; $\lambda = -0,1$, $\gamma = 1$, $Pr = 0,733$.

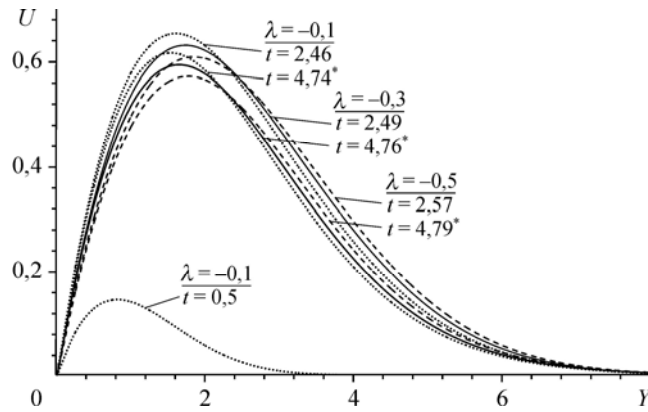


Рис. 5. Профили скорости при различных λ для $\gamma = 2$.

* — стационарное решение; $Pr = 0,733$, $Gr = 10^6$, $\phi = 60^\circ$.

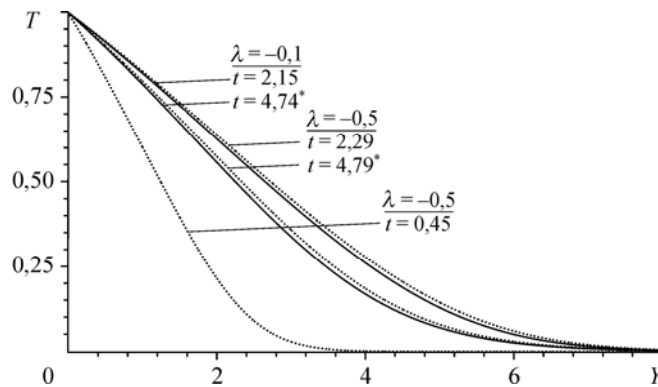


Рис. 6. Профили температуры при различных λ для $\gamma = 2$.

* — стационарное решение; $Pr = 0,733$, $Gr = 10^6$, $\phi = 60^\circ$.

стенки увеличивается с увеличением λ (вязкость воздуха уменьшается). Однако противоположная тенденция заметна на некотором расстоянии от стенки. Из рис. 6 видно, что температура жидкости уменьшается при увеличении λ (вязкость воздуха уменьшается).

Численные значения изменений переходных профилей скорости и температуры для различных γ при значении $\lambda = -0,2$ в воздухе ($Pr = 0,733$) изображены графически на рис. 7 и 8. При $\gamma = 5$ скорость достигает своего максимального значения 0,74499 при

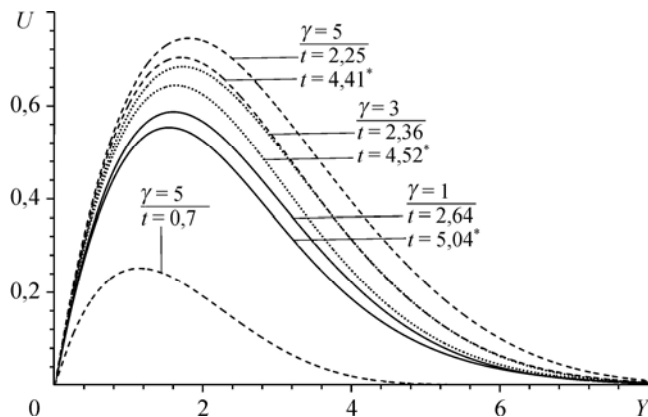


Рис. 7. Профили скорости при различных γ для $\lambda = -0,2$.

* — стационарное решение; $Pr = 0,733$, $Gr = 10^6$, $\phi = 60^\circ$.

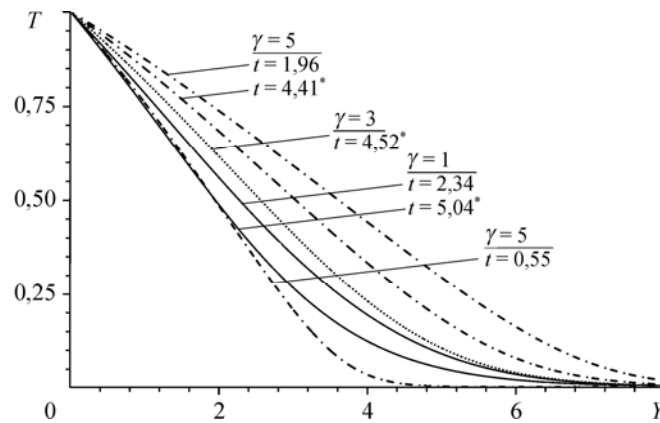


Рис. 8. Профили температуры при различных γ для $\lambda = -0,2$.

* — стационарное решение; $Pr = 0,733$, $Gr = 10^6$, $\phi = 60^\circ$.

$Y = 1,75$ для $t = 2,25$ и затем наблюдается умеренное снижение до достижения стационарного состояния при $t = 4,41$. Для постоянного значения λ распределение скорости и температуры воздуха увеличивается с увеличением γ (теплопроводность воздуха возрастает). Кроме того, можно отметить, что увеличение теплопроводности γ приводит к заметному росту скорости и температуры, то есть объемный расход воздуха возрастает с увеличением γ . Влияние изменения теплопроводности на скорость и температуру более значительно, особенно на самых ранних этапах переходного периода. Время достижения временного максимума и стационарного состояния уменьшается с увеличением γ . Разница между временным максимумом и стационарным состоянием уменьшается при уменьшении γ .

На рис. 9–16 представлены изменения скорости и температуры в зависимости от координаты Y для переходного периода, временного максимума и стационарного состояния на передней кромке пластины $X = 1$ для различных углов наклона, вязкости, теплопроводности и чисел Прандтля в воде.

Изменения скорости и температуры для различных чисел Грасгофа и угла наклона ϕ в воде представлены на рис. 9 и 10. С увеличением угла наклона горизонтальная скорость увеличивается. Следует отметить, что скорость увеличивается с уменьшением числа Грасгофа.

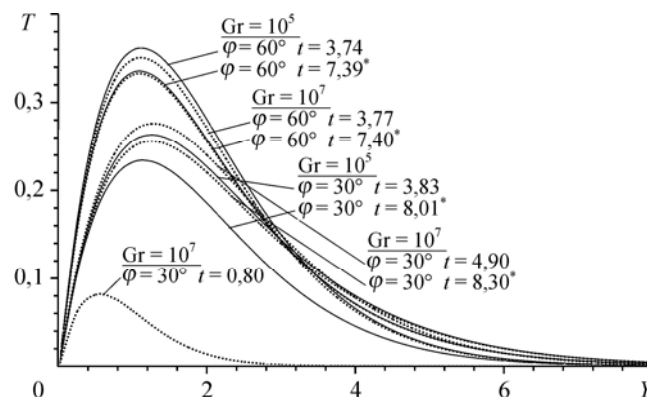
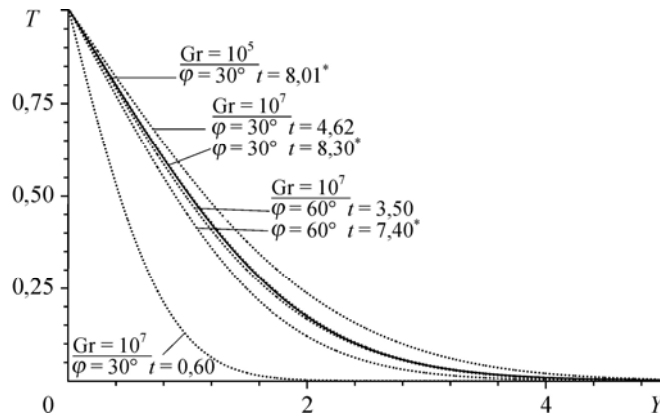


Рис. 9. Профили скорости при различных Gr и ϕ .

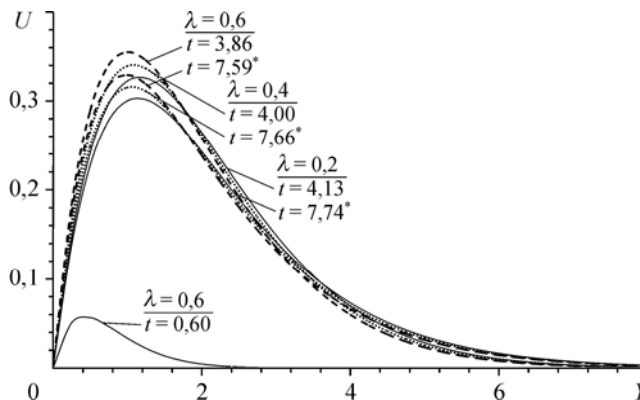
* — стационарное решение; $Pr = 3$, $\lambda = 0,2$, $\gamma = 0,02$.

Рис. 10. Профили температуры при различных Gr и ϕ .* — стационарное решение; Pr = 3, $\lambda = 0,2$, $\gamma = 0,02$.

Численные значения изменений скорости и температуры, вычисленные из уравнений (13) и (14), представлены на рис. 11 и 12 для различных значений λ при $\gamma = 0,02$ в воде (Pr = 3). Время, необходимое для достижения временного максимума и стационарного состояния, уменьшается с увеличением параметра вязкости λ .

Из рис. 11 следует, что скорость течения около стенки увеличивается с увеличением параметра λ и уменьшением вязкости воды, что следует из уравнения (6). Кроме того, максимум скорости смещается к стенке ($Y = 1,25$) для более высоких значений λ . Этот качественный эффект возникает потому, что в случае с переменной вязкостью ($\lambda > 0$) жидкость может двигаться более легко в области вблизи нагретой поверхности, т. к. вязкость жидкости с $\lambda > 0$ меньше, чем в жидкости с постоянной вязкостью. Оно приводит к утончению скоростного и теплового пограничных слоев. При увеличении λ (вязкость воды уменьшается) скорость жидкости увеличивается только в интервале $0 \leq Y \leq 1,5$.

На рис. 12 приведено изменение профилей температуры с увеличением λ . Оно согласуется с тем, что увеличение λ приводит к увеличению пика скорости, как показано на рис. 11. Однако следует обратить внимание на два противоположных эффекта действия на жидкость при увеличении λ . Первый эффект — увеличение скорости частицы жидкости

Рис. 11. Профили скорости при различных λ для $\gamma = 0,02$.* — стационарное решение; Pr = 3, Gr = 10^5 , $\phi = 45^\circ$.

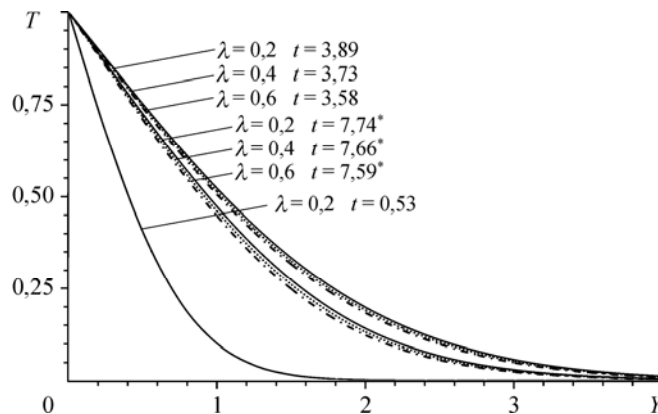


Рис. 12. Профили температуры при различных λ для $\gamma = 0,02$.

* — стационарное решение; $Pr = 3$, $Gr = 10^5$, $\phi = 45^\circ$.

из-за уменьшения вязкости, и второй эффект — снижение скорости частиц жидкости из-за снижения температуры. В области ($0 \leq Y < 1,5$) температура T высока, следовательно, первый эффект будет доминирующим и скорость U будет возрастать по мере увеличения λ (рис. 11). С другой стороны, так как температура T становится ниже с удалением от стенки, второй эффект будет доминирующим и скорость будет уменьшаться с увеличением λ (рис. 11). Из изложенного следует, что пренебрежение изменениями вязкости и теплопроводности жидкости может вносить существенные погрешности.

На рис. 13 и 14 представлены изменения скорости и температуры для различных значений γ при $\lambda = 0,3$ в воде ($Pr = 3$). Видно, что время, необходимое для достижения стационарного состояния, убывает с ростом γ . Можно заметить, что скорость воды уменьшается с уменьшением γ , а при увеличении Y заметна обратная тенденция. Кроме того видно, что распределение температуры жидкости возрастает с увеличением значения γ .

Изменения переходных скорости и температуры при изменении числа Прандтля для постоянных значений других параметров показаны на рис. 15 и 16. При более высоких значениях числа Прандтля требуется больше времени для достижения временного максимума и стационарного состояния, чем при более низких.

Из рис. 15 следует, что скорость уменьшается с увеличением числа Прандтля. Большие значения числа Прандтля увеличивают кривизну профилей температуры

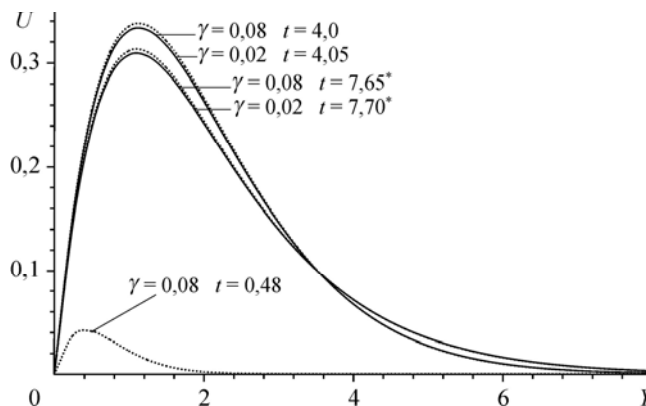


Рис. 13. Профили скорости при различных γ для $\lambda = 0,3$.

* — стационарное решение; $Gr = 10^6$, $\phi = 45^\circ$, $Pr = 3$.

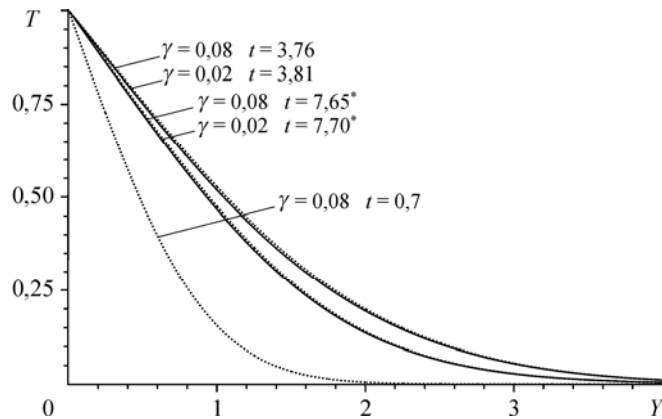


Рис. 14. Профили температуры при различных γ для $\lambda = 0,3$.

* — стационарное решение; $Gr = 10^6$, $\phi = 45^\circ$, $Pr = 3$.

потому, что большее значение числа Прандтля означает, что диффузия тепла от стенки незначительна, в то время как диффузия скорости простирается далеко от стенки.

На рис. 17–24 представлены изменения скорости и температуры в зависимости от координаты Y для переходного периода, временного максимума и стационарного

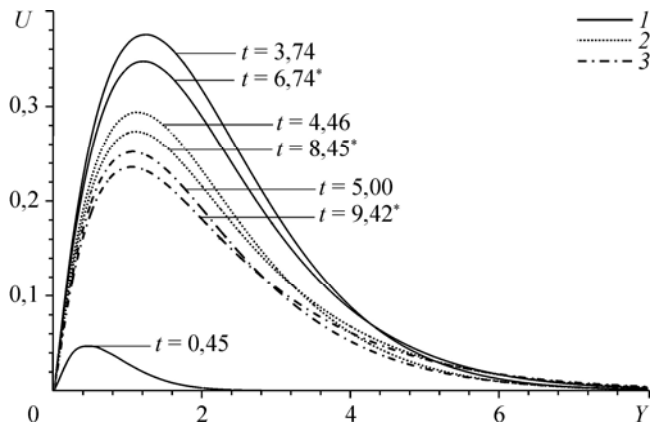


Рис. 15. Профили скорости при различных Pr .

* — стационарное решение; $Gr = 10^6$, $\phi = 45^\circ$, $\lambda = 0,2$, $\gamma = 0,02$; $Pr = 2$ (1), 4 (2), 6 (3).

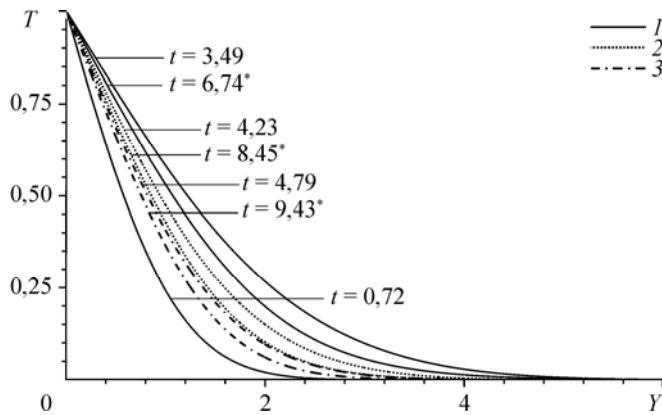


Рис. 16. Профили температуры при различных Pr .

* — стационарное решение; $Gr = 10^6$, $\phi = 45^\circ$, $\lambda = 0,2$, $\gamma = 0,02$; $Pr = 2$ (1), 4 (2), 6 (3).

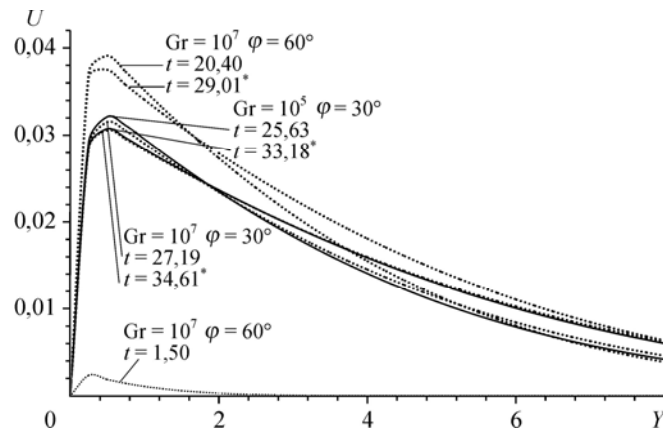


Рис. 17. Профили скорости при различных Gr и ϕ .

* — стационарное решение; $Pr = 500, \lambda = 1, \gamma = -0,1$.

состояния на передней кромке пластины $X = 1$ для различных чисел Грасгофа, угла наклона, вязкости, теплопроводности и чисел Прандтля в смазочных маслах.

Вычисленные изменения скорости и температуры смазочного масла для различных чисел Грасгофа и угла наклона представлены на рис. 17 и 18. Скорость резко возрастает вблизи стенки, а затем уменьшается вдали от стенки. Влияние числа Грасгофа на скорость увеличивается с уменьшением ϕ . Скорость достигает временного максимума 0,03215 при $Y = 0,5, t = 25,63$ и затем наблюдается умеренное снижение до достижения стационарного состояния при $t = 33,18$ ($Gr = 105, \phi = 30^\circ$). Скорость уменьшается с увеличением Gr , такая же тенденция отмечается в случае воздуха и воды (рис. 3, 9). Кроме того, скорость увеличивается с повышением угла наклона к горизонтали.

Изменения профилей скорости и температуры с изменением λ для постоянного значения $\gamma = -0,05$ для смазочного масла ($Pr = 500$) представлены на рис. 19 и 20. На рисунках видно, что время, необходимое для достижения стационарного режима, увеличивается при уменьшении λ . Также скорость увеличивается при увеличении λ (вязкость масла уменьшается). Температура жидкости уменьшается при увеличении λ . Изменения переходных профилей скорости и температуры при изменении γ для постоянного значения $\lambda = 1$ для смазочного масла ($Pr = 500$) представлены на рис. 21 и 22. Распределения скорости и температуры в жидкости увеличиваются с увеличением γ .

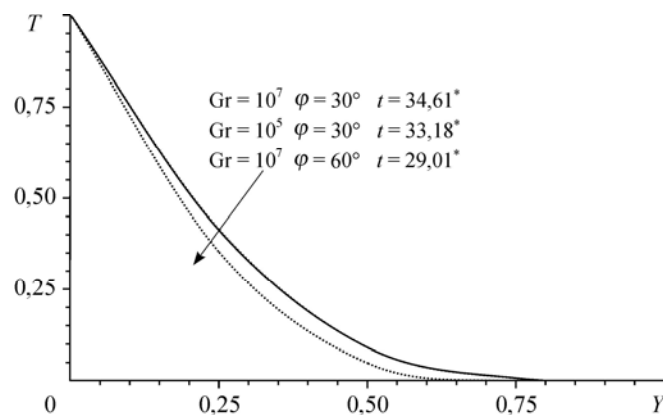


Рис. 18. Профили температуры при различных Gr и ϕ .

* — стационарное решение; $\lambda = 0,2, \gamma = 0,02$.

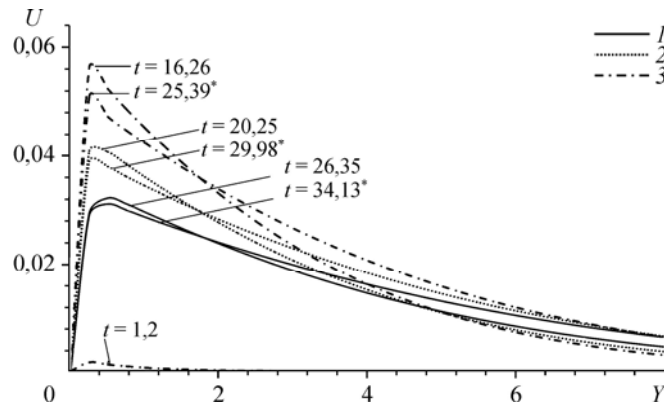


Рис. 19. Профили скорости при различных λ для $\gamma = -0,05$.

* — стационарное решение; $Pr = 500$, $Gr = 10^6$, $\phi = 30^\circ$; $\lambda = 1$ (1), 2 (2), 3 (3).

Зная скоростные и температурные поля, с практической точки зрения интересно исследовать наиболее важные характеристики течения — касательные напряжения и коэффициент теплопередачи на пластине.

Местные сдвиговые напряжения на пластине определяется как

$$\tau_x = \left(\mu \frac{\partial u}{\partial y} \right)_{y=0}. \quad (15)$$

Вводя безразмерные величины из выражений (5) и (6) в (15), получаем безразмерный коэффициент трения

$$\tau_X = e^{-\lambda} Gr^{3/4} \left(\frac{\partial U}{\partial Y} \right)_{Y=0}. \quad (16)$$

Интегрирование уравнения (16) от $X = 0$ до $X = 1$ дает средний коэффициент трения

$$\bar{\tau} = e^{-\lambda} Gr^{3/4} \int_0^1 \left(\frac{\partial U}{\partial Y} \right)_{Y=0} dX. \quad (17)$$

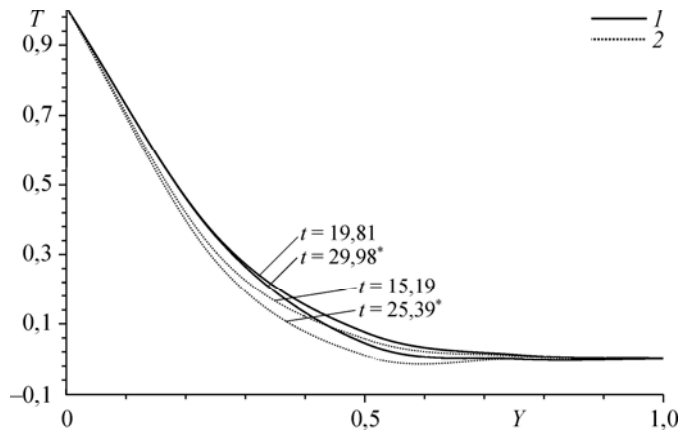


Рис. 20. Профили температуры при различных λ для $\gamma = -0,05$.

* — стационарное решение; $Pr = 500$, $Gr = 10^6$, $\phi = 30^\circ$; $\lambda = 2$ (1), 3 (2).

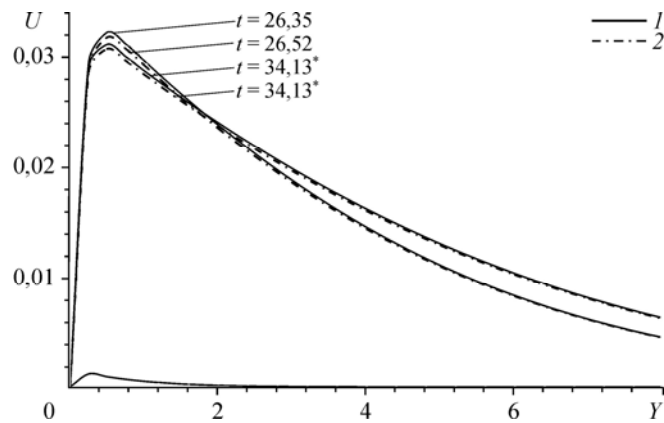


Рис. 21. Профили скорости при различных γ для $\lambda = 1$.

* — стационарное решение; $Pr = 500$, $Gr = 10^6$, $\phi = 30^\circ$; $\gamma = -0,05$ (1), $-0,1$ (2).

Локальное число Нуссельта определяется как

$$Nu_x = \frac{-L(k(\partial T'/\partial y))_{y=0}}{k_0(T'_w - T'_\infty)}. \quad (18)$$

С помощью безразмерных переменных, определенных в уравнениях (5) и (7), из выражения (18) получим безразмерное число Нуссельта

$$Nu_X = -(1 + \gamma)Gr^{1/4} \left(\frac{\partial T}{\partial Y} \right)_{Y=0}. \quad (19)$$

Интегрирование (19) от $X = 0$ до $X = 1$ дает среднее число Нуссельта

$$\bar{\tau} = -(1 + \gamma)Gr^{1/4} \int_0^1 \left(\frac{\partial T}{\partial Y} \right)_{Y=0} dX. \quad (20)$$

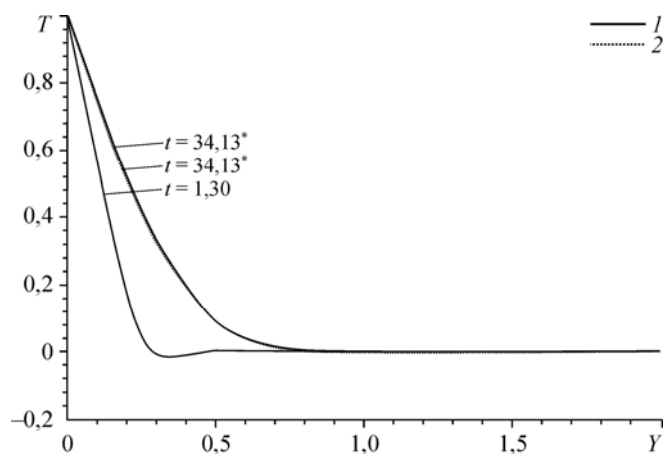
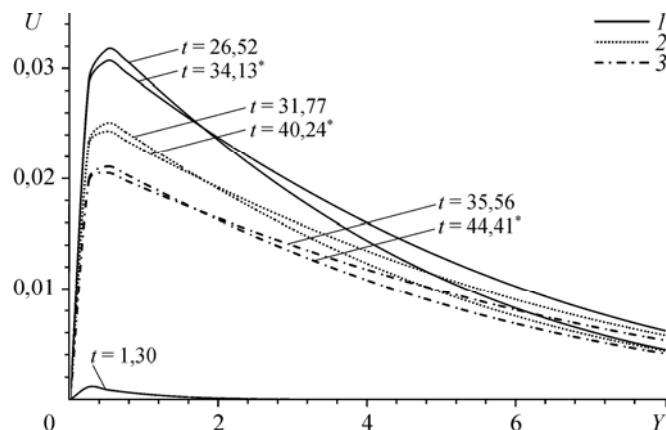


Рис. 22. Профили температуры при различных γ для $\lambda = 1$.

* — стационарное решение; $Pr = 500$, $Gr = 10^6$, $\phi = 30^\circ$; $\gamma = -0,05$ (1), $-0,1$ (2).

Рис. 23. Профили скорости при различных Pr .

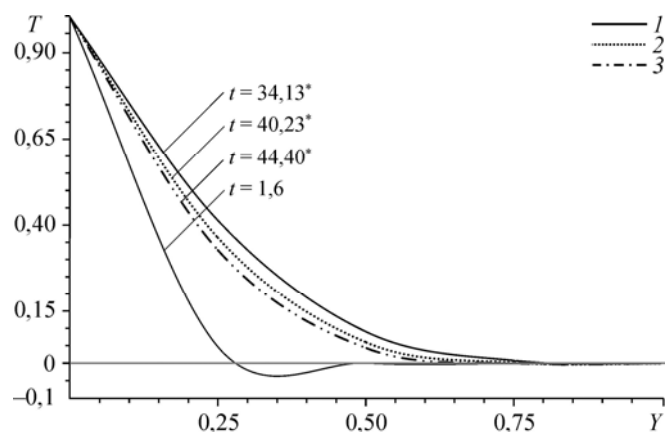
* — стационарное решение; $Gr = 10^6$, $\phi = 30^\circ$, $\lambda = 1$, $\gamma = -0,1$; $Pr = 500$ (1), 750 (2), 1000 (3).

Производные, входящие в выражения (16), (17), (19) и (20), вычисляются с применением пятиточечной аппроксимации, затем интегралы вычисляются с помощью формулы интегрирования Ньютона–Котеса.

Изменение локального напряжения сдвига при различных значениях параметров γ и λ для воды и воздуха представлено на рис. 25 и 26. Локальные касательные напряжения возрастает монотонно с ростом X . Из численных результатов следует, что локальные касательные напряжения возрастают с уменьшением параметра вязкости λ . Кроме того, локальные касательные напряжения возрастают с увеличением параметра теплопроводности γ .

Распределение локального теплообмена при различных значениях параметров γ и λ для воздуха и воды представлено на рис. 27 и 28. Локальная теплопередача возрастает с увеличением параметров λ и γ .

Средние значения поверхностного трения представлены на рис. 29 и 30. Среднее значение поверхностного трения увеличивается с течением времени и асимптотически достигает постоянного значения. Среднее значение поверхностного трения возрастает с уменьшением величины λ . Но при изменении γ заметна обратная тенденция.

Рис. 24. Профили температуры при различных Pr .

* — стационарное решение; $Gr = 10^6$, $\phi = 30^\circ$, $\lambda = 1$, $\gamma = -0,1$; $Pr = 500$ (1), 750 (2), 1000 (3).

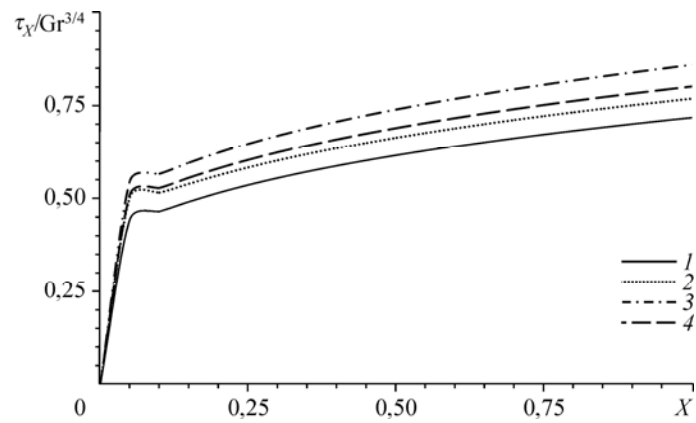


Рис. 25. Распределение локального трения.

$Gr = 10^6$, $\phi = 30^\circ$, $Pr = 0,733$; 1 — $\lambda = -0,2$, $\gamma = 2$, 2 — $\lambda = -0,4$, $\gamma = 4$, 3 — $\lambda = -0,6$, $\gamma = 3$, 4 — $\lambda = -0,4$, $\gamma = 3$.

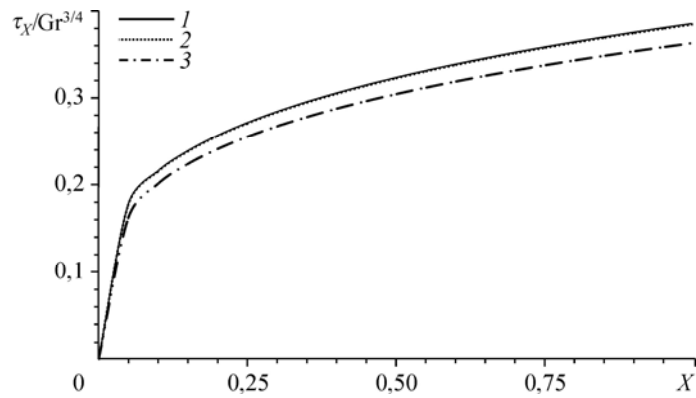


Рис. 26. Распределение локального трения.

$Gr = 10^6$, $\phi = 30^\circ$, $Pr = 5$; 1 — $\lambda = 0,2$, $\gamma = 0,08$, 2 — $\lambda = 0,2$, $\gamma = 0,06$, 3 — $\lambda = 0,4$, $\gamma = 0,06$.

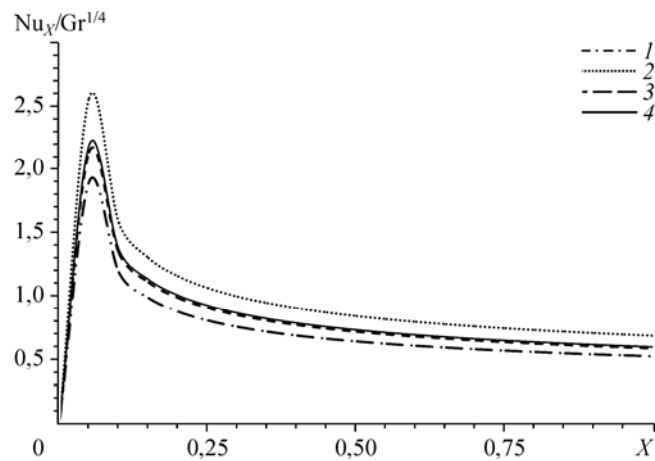


Рис. 27. Распределение локального числа Nu.

$Gr = 10^6$, $\phi = 30^\circ$, $Pr = 0,733$; 1 — $\lambda = -0,2$, $\gamma = 2$, 2 — $\lambda = -0,2$, $\gamma = 4$, 3 — $\lambda = -0,6$, $\gamma = 3$, 4 — $\lambda = -0,4$, $\gamma = 3$.

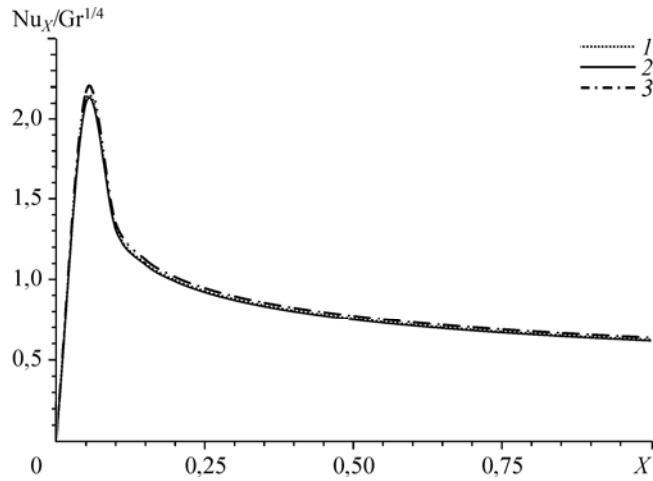


Рис. 28. Распределение локального числа Nu.

$Gr = 10^6$, $\phi = 30^\circ$, $Pr = 5$; 1 — $\lambda = 0,2$, $\gamma = 0,04$, 2 — $\lambda = 0,2$, $\gamma = 0,06$, 3 — $\lambda = 0,4$, $\gamma = 0,06$.

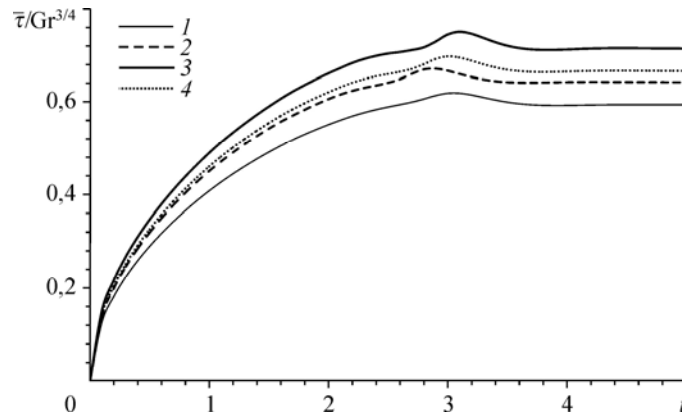


Рис. 29. Зависимость среднего трения от времени.

$Gr = 10^6$, $\phi = 30^\circ$, $Pr = 0,733$; 1 — $\lambda = -0,2$, $\gamma = 2$, 2 — $\lambda = -0,2$, $\gamma = 4$, 3 — $\lambda = -0,6$, $\gamma = 3$, 4 — $\lambda = -0,4$, $\gamma = 3$.

Средние значения числа Нуссельта для воды и воздуха приведены на рис. 31 и 32. Можно отметить, что среднее число Нуссельта увеличивается с увеличением как параметра вязкости λ , так и параметра теплопроводности γ .

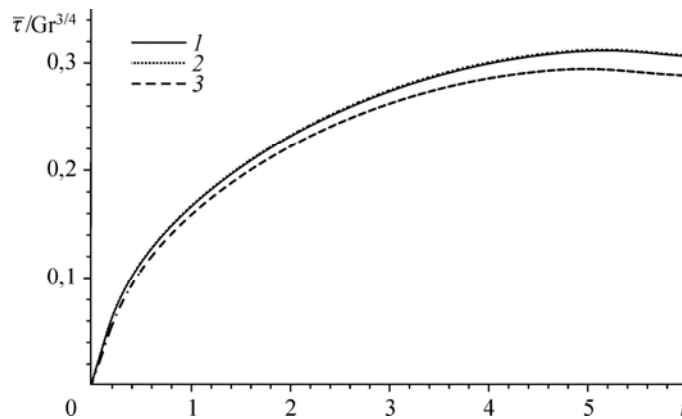


Рис. 30. Зависимость среднего трения от времени.

$Gr = 10^6$, $\phi = 30^\circ$, $Pr = 5$; 1 — $\lambda = 0,2$, $\gamma = 0,04$, 2 — $\lambda = 0,2$, $\gamma = 0,06$, 3 — $\lambda = 0,4$, $\gamma = 0,06$.

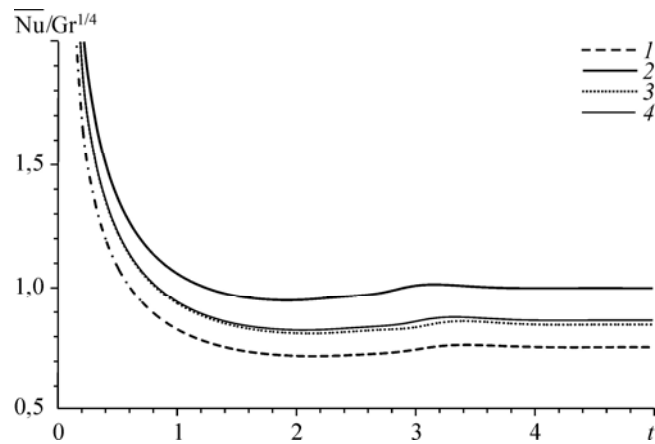


Рис. 31. Зависимость среднего числа Nu от времени.

$Gr = 10^6$, $\phi = 30^\circ$, $Pr = 0,733$; 1 — $\lambda = -0,2$, $\gamma = 2$, 2 — $\lambda = -0,6$, $\gamma = 4$, 3 — $\lambda = -0,6$, $\gamma = 3$, 4 — $\lambda = -0,4$, $\gamma = 3$.

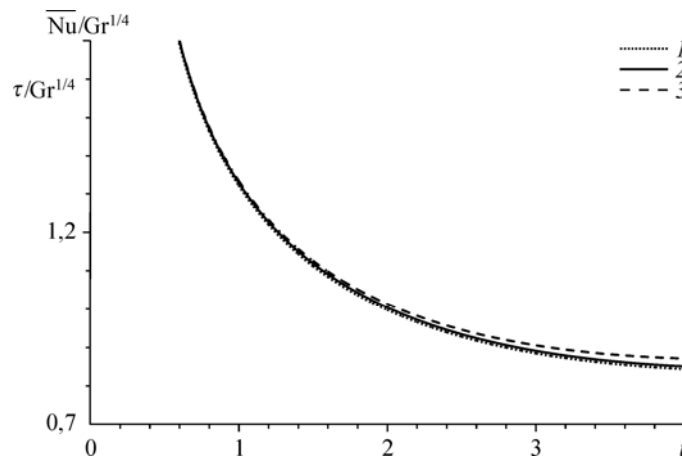


Рис. 32. Зависимость среднего числа Nu от времени.

$Gr = 10^6$, $\phi = 30^\circ$, $Pr = 5$; 1 — $\lambda = 0,2$, $\gamma = 0,04$, 2 — $\lambda = 0,2$, $\gamma = 0,06$, 3 — $\lambda = 0,4$, $\gamma = 0,06$.

Выводы

Проведено численное исследование течения жидкости вдоль полубесконечной изотермической наклонной пластины с учетом влияния переменных вязкости и теплопроводности. Вязкость жидкости предполагалась экспоненциальной функцией температуры, теплопроводность — линейной функцией. Система определяющих дифференциальных уравнений решалась с помощью неявной разностной схемы типа Кранка–Николсона. Подробно изучено влияние переменной вязкости и теплопроводности на поля скорости и температуры, напряжения сдвига и теплообмен. Проведено также сравнение численных результатов с данными ранее опубликованных работ и установлена хорошая согласованность.

Из проведенного исследования следует:

1. Коэффициент трения увеличивается с уменьшением параметра λ (вязкость воды уменьшается с увеличением температуры) и возрастает с увеличением параметра γ (температуропроводность воды увеличивается с увеличением температуры).

2. Вязкость, теплопроводность и число Прандтля жидкости чувствительны к изменениям температуры в задаче естественной конвекции. Следовательно, влияние переменных вязкости, теплопроводности и числа Прандтля следует учитывать для точного предсказания коэффициента трения и интенсивности теплообмена.

3. Результаты для жидкости с переменной вязкостью и теплопроводностью существенно отличаются от аналогичных результатов для жидкости с постоянными свойствами.

4. Следует отметить, что пренебрежение изменениями вязкости и теплопроводности приведет к значительным ошибкам. Таким образом, для получения более точных результатов следует учитывать влияние переменных вязкости и теплопроводности.

Список литературы

1. Pohlhausen E. Der Wärmeaustausch zwischen festen Körpern und Flüssigkeiten mit kleiner Reibung und kleiner Wärmeleitung // Z. Angew. Math. Mech. 1921. Vol. 1. P. 115–121.
2. Ostrach S. An analysis of laminar free convection flow and heat transfer about a flat plate parallel to the direction of the generating body force // NACA Report. 1953. No. 1111. P. 63–79.
3. Seigel R. Transient free convection from a vertical flat plate // Trans. Amer. Soc. Mech. Eng. 1958. Vol. 80. P. 347–359.
4. Hellums J.D., Churchill S.W. Transient and steady state free and natural convection, numerical solution. Part 1. The isothermal vertical plate // AIChE J. 1962. Vol. 8. P. 690–692.
5. Soundalgekar V.M., Ganesan P. Finite difference analysis of transient free convection on an isothermal flat plate // Reg. J. Energy Heat Mass Transfer. 1981. Vol. 3. P. 219–224.
6. Chen T.S., Tien H.C., Armaly B.F. Natural convection on horizontal, inclined and vertical plates with variable surface temperature or heat flux // Inter. J. Heat Mass Transfer. 1986. Vol. 29. P. 1465–1478.
7. Ekambavannan K., Ganesan P. Finite difference solution of unsteady natural convection boundary layer flow over an inclined plate with variable surface temperature // Wärme- und Stoffübertragung. 1994. Vol. 30. P. 63–69.
8. Schlichting H. Boundary Layer Theory. New York: McGraw Hill, 1979. 817 p.
9. Kays W.M., Crawford M.E. Convective heat and mass transfer. New York: McGraw Hill, 1980. 420 p.
10. Ockendon H., Ockendon J.R. Variable-viscosity flows in heated and cooled channels // J. of Fluid Mechanics. 1977. Vol. 83, No. 1. P. 177–190.
11. Gary J., Kassory D.R., Tadjeran H., Zebib A. Effect of significant viscosity variation on convective heat transport in water saturated porous media // J. of Fluid Mechanics. 1982. Vol. 117. P. 233–249.
12. Elbasha E.M.A., Ibrahim F.N. Steady free convection flow with variable viscosity and thermal diffusivity along a vertical plate // J. of Physics D: Applied Physics. 1993. Vol. 26, No. 12. P. 2137–2143.
13. Elbasha E.M.A. Free convection flow with variable viscosity and thermal diffusivity along a vertical plate in the presence of the magnetic field // Int. J. Engg. Sci. 2000. Vol. 38. P. 207–213.
14. Hossain M.A., Khanafar K., Vafai K. The effect of radiation on free convection flow of fluid with variable viscosity from a porous vertical plate // Int. J. Therm. Sci. 2001. Vol. 40. P. 115–124.
15. Seddeek M.A. Effect of variable viscosity on a MHD free convection flow past a semi-infinite flat plate with an aligned magnetic field in the case of unsteady flow // Int. J. Heat Mass Transfer. 2002. Vol. 45, No. 4. P. 931–935.
16. Wilson, S.K., Duffy, B.R. Strong temperature-dependent-viscosity effects on a rivulet draining down a uniformly heated or cooled slowly varying substrate // Physics of Fluids. 2003. Vol. 15, No. 4. P. 827–840.
17. Abo-Eldahab E.M. The effects of temperature-dependent fluid properties on free convective flow along a semi-infinite vertical plate by the presence of radiation // Intern. J. Heat Mass Transfer. 2004. Vol. 41, No. 2. P. 163–169.
18. Soundalgekar V.M., Takhar H.S., Das U.N., Deka, R.K., Sarmah A. Effect of variable viscosity on boundary layer flow along a continuously moving plate with variable surface temperature // Intern. J. Heat and Mass Transfer. 2004. Vol. 40. P. 421–424.
19. Seddeek M.A., Abdelmeguid M.S. Effects of radiation and thermal diffusivity on heat transfer over a stretching surface with variable heat flux // Physics Letters A. 2006. Vol. 348. No. 3–6. P. 172–179.
20. Mahmoud Mostafa A.A. Variable viscosity effects on hydromagnetic boundary layer flow along a continuously moving vertical plate in the presence of radiation // Appl. Math. Sci. 2007. Vol. 1, No. 17. P. 799–814.
21. Palani G., Kwang-Yong Kim. Numerical study on a vertical plate with variable viscosity and thermal conductivity // Arch. Appl. Mech. 2010. Vol. 80, No. 7. P. 711–725.
22. Slatery J.C. Momentum, energy and mass transfer in continua. New York: McGraw Hill: 1972. 704 p.
23. Carnahan B., Luther H.A., Wilkes J.O. Applied numerical methods. New York: John Wiley and Sons, 1969. 604 p.

Статья поступила в редакцию 14 февраля 2013 г.